

چاپ خطوط و سطوح هادی روی زیرلايهای مختلف به روش چاپ جوهرا فشانی

جواد نوری، سید منصور بیدکی و عباسعلی حیدری

بود. بدین منظور منسوجاتی با نام منسوجات هوشمند^۱ به عنوان محصولی مشترک از همکاری متخصصین نساجی و الکترونیک مطرح شده‌اند که مطابق تعریف منسوجاتی هستند که قادر به حسن پارامترهای محیط اطراف خود و ارائه پاسخی متناسب با محرک دریافتی می‌باشند. اگرچه می‌توان قطعات و وسایل الکترونیکی را در قسمت‌های مختلف لباس جای داده و با آن حمل نمود ولی در صورتی می‌توان انعطاف و قابلیت‌های مناسب پوشاسک را حفظ نمود که بتوان وسایل الکترونیکی را در حد میکرومتر کوچک نموده و یا آنکه اجزای مدارهای الکترونیکی را به صورتی کاملاً انعطاف‌پذیر و قابل شستشو در داخل ساختار پوشاسک طراحی نمود. بدین منظور راه حل اصلی، افزودن مواد رسانا، نیمه‌رسانا و عایق به صورتی است که دارای انعطاف بوده و از راحتی و کارایی لباس نکاهند.

برای ایجاد قابلیت هدایت الکتریکی در منسوجات می‌توان از روش‌های مختلفی از جمله به کارگیری رشته‌های نازک فلزات رسانا در بافت منسوج، پوشش‌دادن منسوج به‌وسیله فلزات هادی یا نمک‌های فلزی و غیره استفاده کرد. این روش‌ها معمولاً برای ایجاد طرح‌های پیچیده مدارهای الکترونیکی مناسب نبوده و یا آن که هدایت الکتریکی لازم را به وجود نیاورده و یا در اثر شستشوی مکرر منسوج، خاصیت الکتریکی ایجاد نموده را از دست می‌دهند. چاپ مواد هادی و نیمه‌هادی و یا غیر هادی با استفاده از شابلون‌ها (توری‌های ظرفی) یکی از روش‌های موفق افزودن مواد به بسترهای مختلف است. در این روش‌ها، خمیری که حاوی چسب پلیمری با مواد هادی، نیمه‌هادی و یا عایق است با فشار یک تیغه انعطاف‌پذیر از وزنه‌های باز یک شابلون (استنتسیل^۲) طرحی بر سطح کالا ایجاد می‌نماید که می‌تواند کارایی الکتریکی لازم را روی آن ایجاد کند. محدودیت ظرافت طرح‌های چاپ شده و نیاز به طراحی شابلون برای هر طرح جدید از جمله مشکلات این روش چاپ برای افزودن خواص الکتریکی بر روی بسترهای مختلف خصوصاً منسوجات می‌باشد.

از این رو بر اساس روشی نوین، فن آوری چاپ جوهرا فشان با استفاده از جوهرهای هادی الکتریسیته جهت ایجاد صفحات هادی پیشنهاد شده است. این شیوه قادر به تولید منسوجات هادی الکتریسیته همراه با قابلیت انعطاف‌پذیری و هدایت الکتریکی بالا است [۱] و [۲]. اصولاً جوهرا فشانی یک فن آوری چاپ بوده که در آن جوهرهای سیال از طریق سامانه چاپ و نازل‌های چاپگر بر سطح بستر مورد چاپ پاشیده می‌شوند. این روش در عین سادگی به مهارت‌های متعددی در تولید فرمولاسیون‌های مناسب برای چاپ و همچنین ایجاد قطرات کوچک جوهر را نیاز دارد. جوهرهای جوهرا فشان باید دارای خصوصیات فیزیکی لازم جهت شکل‌گیری قطره بوده و قادر به تولید طرح‌های تیز، متراکم و پیوسته باشند. چاپگرهای جوهرا فشان قابل دسترس، قادر به تولید قطراتی با حجم حدود ۲-۴۰

چکیده: فناوری چاپ به عنوان یکی از روش‌های بسیار مناسب برای افزودن خواص الکتریکی به اجزای سازنده منسوجات مطرح می‌باشد که روش چاپ جوهرا فشانی به دلیل مزیت‌هایی چون ارزانی، در دسترس بودن، انعطاف‌پذیر بودن و ... مورد توجه ویژه قرار گرفته است. هدف از تحقیق حاضر به کارگیری روش نوین استفاده از جوهرهای واکنش‌دهنده با یکدیگر پس از پاشیده شدن بر سطح بستر برای تهییه المان‌های ساده مداری می‌باشد. در این روش، محلول ریق نمک فلزی نقره و محلول یک ماده کاهنده که به طور متوالی بر روی یک زیرلایه چاپ می‌گردد، طی عمل اکسیداسیون و اجیای شیمیایی سبب کاهیده شدن نیترات نقره شده و در این حالت نانوذرات فلز نقره ایجاد می‌شود و به این ترتیب طرح ایجاد شده هادی الکتریکی خواهد بود. بهترین ماده کاهنده برای چاپ جوهرا فشان فلز نقره، آسکوربیک اسید در pH ۵ نرمال می‌باشد. با این روش، خطوط و طرح‌های هادی بر سطح بسترهایی از جنس کاغذ، صفحات پلی‌استر و همچنین پارچه تولید شده و تأثیر عوامل مختلف بر روش رسانایی بررسی شده و تلاش شده است تا به روش‌های مختلف، هدایت الکتریکی این طرح‌ها به حد اکثر مقدار ممکن افزایش یابد. آزمون‌های انجام شده نشان از قابلیت بالای فناوری چاپ جوهرا فشانی برای ایجاد طرح‌هایی از نانوذرات نقره با هدایت حداقل $1 \times 10^5 \text{ m/s}$ برای ساخت المان‌ها و مدارهای الکتریکی دارد.

کلید واژه: چاپ جوهرا فشان، استحصال فلز، منسوج رسانا، الکترونیک چاپی، چاپ المان‌های الکتریکی.

۱- مقدمه

محیط هوشمند مهم‌ترین استراتژی دهه اخیر برای پیشبرد صنایع الکترونیک و رایانه بوده که در آن محیط اطراف انسان باید به‌گونه‌ای هوشمند و در دسترس باشد که کلیه امکانات رایانه‌ای و الکترونیکی و مخابراتی را به سرعت در هر زمان و در هر مکان در دسترس انسان قرار دهد. ایجاد قابلیت‌های الکتریکی در تمامی اجزای محیط اطراف انسان تنها راهی است که می‌توان با انجام آن در راه رسیدن به چنین محیطی گام برداشت. پوشاسک انسان طبیعتاً نزدیک‌ترین و قابل دسترس ترین جزء محیط به بدن انسان می‌باشد. در صورتی که بتوان محصولات الکترونیکی را در ساختار لباس جای داده و یا در داخل آن ساخت، می‌توان از در دسترس بودن آن در تمامی مواقعی که انسان آن را به همراه دارد، مطمئن

این مقاله در تاریخ ۲۳ بهمن ماه ۱۳۸۸ دریافت و در تاریخ ۲ آبان ماه ۱۳۹۰ بازنگری شد.

جواد نوری، دانشکده مهندسی نساجی، دانشگاه یزد، یزد (email: nouritex@yahoo.com)

سید منصور بیدکی، دانشکده مهندسی نساجی، دانشگاه یزد، یزد (email: smbidoki@yazduni.ac.ir)

عباسعلی حیدری، دانشکده مهندسی برق و کامپیوتر، دانشگاه یزد، یزد (email: aheidari@yazduni.ac.ir)

کاهنده برای چاپ جوهرافشان فلز نقره، آسکوربیک اسید در pH نرمال می‌باشد. تولید طرح‌های ساخته شده از نانوذرات فلز نقره در ابعاد ۲۰ الی ۲۰۰ نانومتر برای ایجاد اشکال رسانی، بهوسیله جوهرافشان استاندارد اداری حرارتی گزارش شده است. لایه فلز نقره ایجاد شده در این حالت دارای قابلیت هدایت الکتریکی در حدود $1.89 \times 10^5 \text{ S/m}$ می‌باشد که این میزان هدایت الکتریکی برای استفاده در بسیاری از ابزارهای الکترونیکی مناسب است [۴].

تحقیق حاضر با هدف بیبود خواص هدایتی طرح‌های چاپ شده بر سطوح مختلف به روش جوهرافشانی به انجام رسیده است. پس از بیان روش و مواد مورد نیاز، نحوه اندازه‌گیری رسانایی طرح‌ها بیان شده و تأثیر پارامترها و یا عوامل مختلف بر روی رسانایی بررسی شده است. ایجاد طرح‌های با رسانایی لازم بر روی زیرلایه‌های مختلف و بهویژه پارچه، اولین قدم جهت ایجاد امان‌های مداری ساده بر روی پارچه می‌باشد. مثال ساده‌ای از این نوع مدارها، یک مدار LC روی پارچه یا لباس است که می‌تواند به همراه سیستم مربوطه، برای کنترل ورود و خروج و یا کنترل محل حضور پرسنل یک شرکت و یا کارخانه به کار رود.

۲- مواد و روش‌ها

۱-۲ محلول‌ها و زیرلایه‌های به کار رفته

برای انجام عملیات چاپ از یک ماده کاهنده و یک محلول نمک فلزی استفاده شده که در این تحقیق از نیترات نقره با درصد خلوص ۹۹,۵ درصد (ساخت کمپانی MERCK آلمان) به عنوان محلول نمک فلزی استفاده شده است. ماده کاهنده مورد استفاده نیز آسکوربیک اسید با درصد خلوص ۹۹,۵٪ (تولید کمپانی MERCK) می‌باشد. برای انجام عملیات چاپ از چاپگر جوهرافشان مدل ۱۲۰۰ Apollo مجهز به کارتیج رنگی hp۲۶ و مشکی hp۲۵ استفاده شده است.

فرآیند چاپ بر روی زیرلایه‌های همچون کاغذ A4 با وزن ۸۰ gr/m^۲، فیلم پلی استر ترانسپارنسی (PET) و پارچه با جنس‌های مختلف صورت گرفته است. مشخصات پارچه‌های به کار رفته در این تحقیق عبارتند از:

- (۱) پارچه ۱۰۰٪ پنبه با بافت ساده با وزن ۱۹۰ gr/m^۲ و تراکم تار و پود ۳۲ در سانتی‌متر.

- (۲) پارچه ۱۰۰٪ پلی استر با بافت ساده با وزن ۱۷۰ gr/m^۲ و تراکم تار و پود ۳۳ در سانتی‌متر.

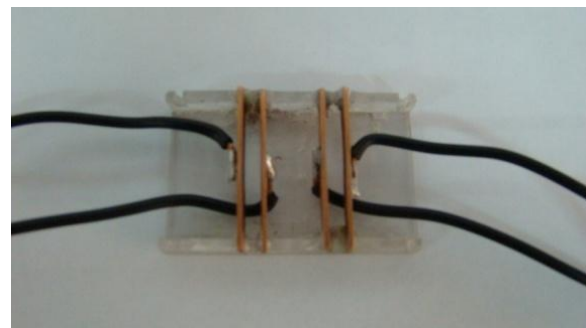
- (۳) پارچه ۶۰٪ پنبه و ۴۰٪ پلی استر با بافت ساده با وزن ۱۷۵ gr/m^۲ و تراکم تار و پود ۳۲ در سانتی‌متر.

- (۴) پارچه ۱۰۰٪ پیکوزیت با بافت ساده با وزن ۱۸۶ gr/m^۲ و تراکم تار و پود ۳۳ در سانتی‌متر.

این پارچه‌ها همگی بافت شرکت یزدباف می‌باشند.

۲-۲ پروب چهار الکترود تماشی

جهت اندازه‌گیری رسانایی طرح‌ها، ابزار یا پروب ویژه‌ای به نام پروب چهار الکترود تماشی طراحی و پس از ساخت مورد استفاده قرار گرفته است. پروب چهار الکترود تماشی که در شکل ۱ نشان داده شده است، شامل چهار الکترود مسی به ضخامت یک میلی‌متر و در ابعاد مساوی و یک صفحه از جنس پلکسی گلاس به عنوان نگهدارنده الکترودها می‌باشد. برای اندازه‌گیری رسانایی، پروب را طوری بر روی سطح مورد نظر که



شکل ۱: نمایی از پروب چهار الکترود تماشی.

پیکولیتر بر اساس اندازه‌های نازل و نیروی رانش می‌باشد. جوهرهای جوهرافشان هادی شامل یک دیسپرسیون نانوذرات فلزی در محلول آبی یا آلی هستند و یا شامل محلولی از ترکیب‌های آلی فلزی بوده که پس از چاپ‌شدن و حرارت دیدن تجزیه شده و ایجاد یک طرح هادی می‌نمایند [۳]. چنین جوهرهایی با قیمت بالا عرضه شده و از طرفی پایداری تعیق آنها نیز برای بیشتر مصارف جوهرافشانی مناسب نبوده و در روزنه‌های نازل ایجاد گرفتگی می‌نمایند.

در یک روش جدید به منظور ایجاد اجزای هادی بر سطح بسترها مختلف، محلول‌های نمک فلز و ماده شیمیایی احیاکننده به صورت جداگانه بر سطح بستر چاپ شده و قطرات این دو جوهر پس از تماس با یکدیگر واکنش داده و نانوذرات فلز ایجاد می‌نمایند. علاوه بر این ممکن است چسب‌های گوتاگون، عوامل افزایش دهنده ویسکوزیته و سایر افزودنی‌های طبیعی با توجه به موارد استعمال آن به جوهر اضافه گردد [۴] تا [۷]. در عمل، استفاده از جوهرافشان‌های پیزوالکتریک برای تولید مستقیم^۱ نسبت به جوهرافشان‌های حرارتی مناسب‌تر می‌باشد چرا که در جوهرافشان‌های حرارتی قطره از طریق تشکیل حباب‌ها در نقطه جوش حال م وجود در جوهر شکل گرفته و از این رو در درجه حرارت بالا امکان بروز مشکلات مختلفی به دلیل تجزیه زودهنگام یا بی‌موقع پیش ماده مصرفی در داخل چاپگر یا نازل وجود دارد [۸].

اگرچه گرفتگی نازل از جمله مشکلاتی است که ممکن است در چاپ جوهرافشان به وقوع بپیوند اما از جمله مزایای این روش آن است که مواد واکنش‌دهنده در یک حلال با فرازیت کم تهیه می‌شوند. از این رو توانایی این را خواهند داشت که از هر مکانیزم چاپی به راحتی عبور نموده و محصول واکنش نهایی نیز که به صورت جامد است در هنگام انتقال جوهر به بستر و در مسیر کانال‌های منتهی به نازل‌های جوهرافشان شکل نگرفته و لایه جامد فلزی تنها پس از رسیدن قطرات دو جوهر بر سطح بستر چاپ ایجاد می‌شود.

از طرف دیگر فناوری چاپ جوهرافشان این امکان را به وجود می‌آورد تا مواد مختلف که از لحاظ اقتصادی نیز مقوون به صرفه می‌باشند توسط این تکنیک استحصلال شده و می‌توان شکل‌های مطلوب را بر روی زیرلایه‌ها به وجود آورد [۹] تا [۱۴]. ایجاد یک چاپ با مقاومت الکتریکی پایین برای یک ویسکوزیته خیلی پایین در طی فرآیند چاپ جوهرافشان امری ضروری به نظر می‌رسد. در این روش جدید، محلول رقیق نمک فلزی و محلول یک ماده کاهنده که به طور متواالی بر روی یک زیرلایه چاپ می‌گردد، طی عمل اکسیداسیون و احیای شیمیایی سبب می‌شوند تا یون‌های فلزی به ذرات ظریف فلزی (نانوذرات) تبدیل گردند. بهترین ماده



شکل ۱: طرح‌ها یا الکترودهای چاپ شده جهت بررسی رسانایی آنها.

غلظت بهینه محلول‌ها به دست آمده است بهنحوی که طرح چاپ شده بیشترین رسانایی را داشته باشد.

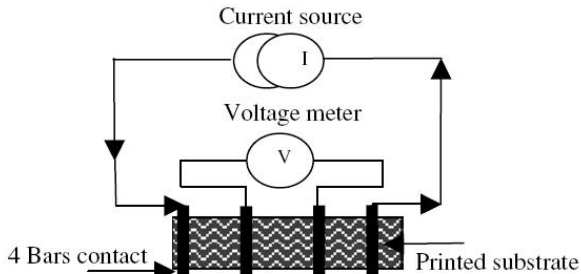
۳- افزایش رسانایی طرح‌های چاپ شده روی کاغذ

در ابتدا طرح‌هایی چاپ شد که پس از انجام تست رسانایی مشخص گردید که این طرح‌ها از رسانایی کمی برخوردار می‌باشند چرا که در چاپ این طرح‌ها پارامترهای مؤثر از جمله درصد محلول‌های به کار رفته (محلول آسکوربیک اسید و نیترات نقره) و تعداد دفعات چاپ به طور بهینه انتخاب نشده بودند. لذا سعی شد تا در آزمایش‌های جداگانه تأثیر پارامترهای فوق بر رسانایی طرح‌های استحصال یافته مورد بررسی قرار گیرد.

۱-۳ بررسی تأثیر غلظت محلول‌ها بر رسانایی طرح‌های چاپ شده

در این آزمایش سعی شده تا اثر غلظت محلول‌ها بر رسانایی طرح‌ها مورد بررسی قرار گیرد و بهترین غلظت محلول‌ها با توجه به رسانایی طرح‌ها به دست آید. از این رو محلول‌هایی از نیترات نقره و آسکوربیک اسید با درصدهای مختلف تهیه شده و با استفاده از این محلول‌ها طرح‌هایی چاپ شد. از هر درصد از غلظت محلول‌ها تعداد ۵ نمونه با طول و عرض یکسان تهیه شده و رسانایی طرح‌ها مورد بررسی قرار گرفت. همان‌طور که در شکل ۳ مشاهده می‌شود، این طرح‌ها خطهایی با پهنای مشخص می‌باشند. مشخصات این طرح‌ها و رسانایی به دست آمده در جدول ۱ گزارش شده است. البته باید توجه داشت که pH محلول آسکوربیک اسید در حدود ۵ و pH محلول نیترات نقره در حدود ۳/۵ بوده است.

ضخامت چاپ‌های ایجادشده برای محاسبه رسانایی نیز به‌وسیله میکروسکوپ SEM و میکروسکوپ پروژکتور اندازه‌گیری شده است. همان‌طور که از جدول ۱ مشاهده می‌شود طرح‌هایی که با درصد غلظت محلول‌های آسکوربیک اسید ۳۰٪ و نیترات نقره ۲۵٪ چاپ شده‌اند دارای بیشترین رسانایی می‌باشند. بنابراین در ادامه کار، این درصد غلظت محلول‌ها به عنوان غلظت بهینه در نظر گرفته شده و طرح‌ها به‌وسیله محلول‌هایی با این غلظت‌ها چاپ شده‌اند. غلظت‌های انتخاب شده با داشتن بالاترین کمیت ممکن از دو ماده واکنش‌دهنده با یکدیگر توانایی تولید بالاترین تعداد نانوذرات نقره را پس از انجام مراحل متوالی جوهرافشانی داشته و لذا با ایجاد لایه‌ای فشرده از ذرات نقره هدایت الکتریکی مناسبی را بر سطح طرح تهیه شده به روش جوهرافشانی به وجود می‌آورند.



شکل ۲: نمای الکتریکی مدار به کار رفته برای اندازه‌گیری رسانایی طرح‌ها.

می‌خواهیم رسانایی آن را اندازه بگیریم قرار داده که چهار الکترود آن در تمامی سطوح با سطح زیرین در تماس باشند و برای اطمینان از این که الکترودها به طور کامل با سطح موردنظر در تماس هستند از یک وزنه ۵۰۰ گرمی برای اعمال فشار بر روی پروف استفاده می‌شود.

مدار به کار رفته برای اندازه‌گیری رسانایی طرح‌ها همان‌طور که در شکل ۲ نشان داده شده است شامل یک منبع تغذیه و دو مولتی‌متر به همراه پروف چهار الکترود می‌باشد. در ابتدا ولتاژ منبع تغذیه به دو الکترود خارجی اعمال شده و با استفاده از یک ولت‌متر، ولتاژ بین دو الکترود میانی اندازه‌گیری شده و با اندازه‌گیری جریان عبوری، مقاومت بخشی از طرح که بین الکترودهای داخلی قرار دارد عبارت است از

$$R = \frac{V}{I} \quad (\Omega) \quad (1)$$

به‌دلیل مقاومت نقطه اتصال، استفاده از اهم‌متر معمولی برای اندازه‌گیری این مقاومتها باعث ایجاد خطای شده و به این دلیل از الکترود چهار نقطه‌ای استفاده شده است. با معلوم‌بودن فاصله l بین دو الکترود داخلی و پهنای طرح (w) و ضخامت چاپ (t)، مقاومت ویژه مسیر یا محیط ایجادشده به روش چاپ جوهرافشان از (۲) به دست می‌آید. رسانایی ویژه طرح نیز برابر با عکس مقاومت ویژه می‌باشد

$$\rho = R \frac{tw}{l} \quad (\Omega\text{m}) \quad (2)$$

$$\sigma = \frac{1}{\rho} \quad (\text{s/m}) \quad (3)$$

۳-۲ استفاده از چاپگر جوهرافشان

ابتدا باید کارتريچ‌های چاپگر باز شده و پس از تخلیه جوهرهای داخل آن، داخل کارتريچ با استفاده از آب به دقت شستشو شود. سپس این کارتريچ‌ها با محلول‌هایی که قبلاً از آسکوربیک اسید و نیترات نقره تهیه شده است، به طور جداگانه پر می‌شوند. ابتدا کارتريچ حاوی محلول آسکوربیک اسید را در داخل دستگاه قرار داده و طرح تهیه شده با استفاده از Microsoft Word ۲۰۰۳ را به‌وسیله محلول آسکوربیک اسید بر روی زیرلایه موردنظر چاپ می‌نماییم. در ادامه کار و پس از اتمام تعداد دفعات چاپ آسکوربیک اسید، کارتريچ حاوی نیترات نقره در داخل چاپگر قرار داده شده و نیترات نقره بر روی آسکوربیک اسید چاپ می‌شود. واکنشی که بین آسکوربیک اسید و نیترات نقره به وقوع می‌پیوندد، سبب کاهیده‌شدن نیترات نقره شده و در این حالت نانوذرات فلز نقره ایجاد می‌شود و به این ترتیب طرح ایجادشده هادی الکتریکی می‌باشد. در این کار پژوهشی سعی شده تا استحصال فلز و افزایش رسانایی طرح‌های چاپ شده بر روی زیرلایه‌های مختلف موردن بررسی قرار گیرد. نمونه‌های زیادی با مشخصات مختلف چاپ شده و با اندازه‌گیری میزان هدایت الکتریکی هر یک از طرح‌ها، بهترین روش چاپ و تعداد دفعات آن و

جدول ۱: بررسی تأثیر غلظت محلول‌ها بر رسانایی طرح‌ها.

آسکوربیک اسید ۳۰٪ و نیترات نقره ۲۵٪۵۰٪				آسکوربیک اسید ۲۵٪ و نیترات نقره ۴۱٪۸۷٪				آسکوربیک اسید ۲۰٪ و نیترات نقره ۳۳٪۵٪				شماره نمونه
رسانایی ($\times 10^{-5}$ s/m)	مقاومت (Ω)	ضخامت (μm)	رسانایی ($\times 10^{-5}$ s/m)	مقاومت (Ω)	ضخامت (μm)	رسانایی ($\times 10^{-5}$ s/m)	مقاومت (Ω)	ضخامت (μm)	طول نمونه (mm)	عرض نمونه (mm)		
۱,۵۴	۱,۲۷	۷	۰,۶۲	۳,۱۷	۷	۰,۳۱۴	۶,۷	۶,۵	۱۱	۸	۱	
۲,۰۴	۰,۹۷	۷	۰,۴۸	۳,۵	۷	۰,۳۱۰	۶,۸۱	۶,۵	۱۱	۸	۲	
۲,۲۶	۰,۸۷	۷	۰,۵۸	۳,۳	۷	۰,۳۰	۵,۰۷	۶,۵	۱۱	۸	۳	
۲,۰۴	۰,۹۷	۷	۰,۵	۳,۳۸	۷	۰,۳۸	۵,۵	۶,۵	۱۱	۸	۴	
۱,۹۸	۱	۷	۰,۶۱	۳,۰۸	۷	۰,۴۴	۴,۷۱	۶,۵	۱۱	۸	۵	

جدول ۲: بررسی تأثیر ترتیب و تعداد دفعات چاپ بر رسانایی طرح‌ها.

شماره نمونه	ترتیب و تعداد دفعات چاپ	عرض نمونه (mm)	طول نمونه (mm)	ضخامت (μm)	رسانایی ($\times 10^{-5}$ s/m)	مقاومت (Ω)
۱	AG	۵,۸	۱۱	۵	۰,۰۳۴	۷۲۴,۶۶
۲	AAG	۸,۵	۱۱	۵	۰,۷۶	۳,۳۳
۳	AAAG	۸,۵	۱۱	۵,۵	۱,۲۴	۱,۸۹
۴	AAAAG	۸,۵	۱۱	۶,۵	۱,۲۰	۱,۶۴
۵	AAAAAG	۸,۵	۱۱	۶,۵	۱,۵۰	۱,۳۲
۶	AGG	۸,۵	۱۱	۵,۵	۰,۰۹۶	۲۴۲,۶
۷	AAGG	۸,۵	۱۱	۶	۰,۸۸	۲,۴۱
۸	AAAGG	۸,۵	۱۱	۶	۱,۴۲	۱,۵۲
۹	AAAAGG	۸,۵	۱۱	۷	۵,۵۴	۰,۳۴
۱۰	AAAAAGG	۸,۵	۱۱	۷	۲,۷۲	۰,۶۸
۱۱	AGAG	۸,۵	۱۱	۵,۵	۰,۷۸	۳
۱۲	AAGAG	۸,۵	۱۱	۶	۱,۴۰	۱,۵۴
۱۳	AAGAAG	۸,۵	۱۱	۶,۵	۱,۲۸	۱,۱۴
۱۴	AAAGAG	۸,۵	۱۱	۶,۵	۲,۲۴	۰,۸۹
۱۵	AAAGAGA	۸,۵	۱۱	۷,۵	۲,۹۴	۰,۵۹
۱۶	AAAGAGAG	۸,۵	۱۱	۷,۵	۳,۴۸	۰,۵

ممکن رسیده و از طرفی ضخامت لایه نقره ایجادشده به حدی افزایش یابد تا امکان انتقال الکتریستیته به حد کافی را بوجود آورد. چنین لایه مناسبی از نانوذرات پر هم انبیاشته شده در چاپ چندمرحله‌ای به دفعات متوالی ذکر شده در بالا ممکن خواهد بود.

۳-۳ بررسی اثر حرارت‌دهی طرح‌ها بر رسانایی آنها

یکی از پارامترهای تأثیرگذار بر رسانایی طرح‌های حاصل از چاپ جوهرافشان، حرارت‌دهی آنها می‌باشد. لذا در این قسمت میزان تأثیر اعمال حرارت بر روی رسانایی طرح‌ها مورد بررسی قرار می‌گیرد. برای این منظور تعداد پنج نمونه با طول و عرض ثابت تهیه شده و رسانایی آنها قبل از حرارت‌دهی بهوسیله پروب چهار کتروود تماشی اندازه‌گیری شده است. سپس نمونه‌ها بهوسیله یک اتو پرسی با دمای ۱۵۰ درجه سانتی‌گراد در بازه‌های زمانی ۵ ثانیه حرارت داده می‌شوند. باید توجه شود که این حرارت‌دهی باید به صورت غیر مستقیم صورت گیرد و به همین دلیل طرح‌های حاصل از چاپ جوهرافشان بین دو لایه از جنس کاغذ قرار گرفته و به گونه‌ای زیر اتو قرار داده می‌شوند که صفحه داغ اتو به طور غیر مستقیم با پشت طرح‌ها تماس پیدا کند. بعد از اعمال حرارت در بازه زمانی ۵ ثانیه اول، نمونه‌ها از زیر اتو خارج شده و رسانایی آنها اندازه‌گیری می‌شود. مجدداً نمونه‌ها حرارت‌دهی شده و بعد از بازه زمانی ۵ ثانیه دوم، سوم و ... رسانایی آنها اندازه‌گیری می‌شود. نتایج در جدول ۳ نشان داده شده است. اعمال حرارت از طرفی باعث واکنش بین مولکول‌های

۲-۳ تأثیر ترتیب و تعداد دفعات چاپ بر روی رسانایی طرح‌ها

پس از بررسی تأثیر درصد غلظت محلول‌ها، باید تأثیر تعداد دفعات چاپ آسکوربیک اسید و نیترات نقره بر رسانایی طرح‌ها مورد بررسی قرار گیرد. از این رو طرح‌های مختلفی با تعداد دفعات چاپ متفاوت و از هر کدام سه نمونه تهیه شده و رسانایی آنها مورد ارزیابی قرار گرفته است. نتایج حاصل از تست رسانایی در جدول ۲ نشان داده شده است. در این جدول علامت A به معنای یک بار چاپ محلول آسکوربیک اسید و G به مفهوم یک بار چاپ محلول نیترات نقره در نمایش مراحل چاپ می‌باشد. لازم به ذکر است که داده‌های ارائه شده در جدول ۲ مقدار میانگین اندازه‌گیری شده از تعداد سه نمونه برای هر حالت می‌باشد.

با مشاهده جدول ۲ مشاهده می‌شود که طرح‌های ایجادشده با تعداد دفعات چاپ AAAAGG یعنی چهار مرتبه چاپ متوالی آسکوربیک اسید و دو مرتبه چاپ متوالی نیترات نقره از بالاترین رسانایی برخوردار می‌باشند. از این رو این تعداد دفعات چاپ به عنوان تعداد دفعات چاپ بهینه در نظر گرفته شده و در ادامه کار، طرح‌ها بر اساس این تعداد دفعات چاپ ایجاد شده‌اند. از نظر فیزیکی بر هم انبیاشته شدن ذرات نقره تولیدشده در حین واکنش میان ماده اجراکنده و نمک نقره باید به حدی باشد تا میزان مقاومت الکتریکی تونلی مابین ذرات به کمترین مقدار

جدول ۳: بررسی تأثیر حرارت بر رسانایی طرح‌ها و تعیین مدت زمان بهینه حرارت‌دهی.

شماره نمونه	عرض نمونه (mm)	طول نمونه (mm)	قبل از اعمال حرارت						بعد از اعمال حرارت					
			۵ ثانیه سوم رسانایی ($\times 10^5$ s/m)	مقاومت (Ω)	۵ ثانیه دوم رسانایی ($\times 10^5$ s/m)	مقاومت (Ω)	۵ ثانیه اول رسانایی ($\times 10^5$ s/m)	مقاومت (Ω)	۵ ثانیه سوم رسانایی ($\times 10^5$ s/m)	مقاومت (Ω)	۵ ثانیه دوم رسانایی ($\times 10^5$ s/m)	مقاومت (Ω)	۵ ثانیه اول رسانایی ($\times 10^5$ s/m)	مقاومت (Ω)
۱	۸	۱۱	۱,۰۸	۱,۶۰	۰,۹۵	۰,۹۷	۲,۰۸	۰,۹۵	۰,۶۹	۲,۶۶	۰,۷۲	۰,۷۷	۲,۵۶	۰,۷۷
۲	۸	۱۱	۱,۹۰	۰,۹۰	۱,۱۸	۰,۸۰	۱,۶۶	۱,۱۸	۰,۷۲	۲,۴۶	۰,۷۲	۰,۷۲	۲,۷۲	۰,۷۲
۳	۸	۱۱	۱,۷۸	۰,۹۶	۰,۹۴	۰,۸۰	۲,۱۰	۰,۹۴	۰,۷۳	۲,۶۲	۰,۷۵	۰,۷۳	۲,۸۴	۰,۷۳
۴	۸	۱۱	۱,۱۷	۱,۴۶	۰,۸۳	۰,۷۵	۲,۳۸	۰,۸۳	۰,۶۰	۲,۸۸	۰,۶۸	۰,۶۰	۳,۲۶	۰,۶۰
۵	۸	۱۱	۱,۶۲	۱,۰۶	۱,۰۵	۱,۸۸	۱,۰۵	۱,۰۵	۰,۶۰	۲,۸۸	۰,۶۸	۰,۶۰	۲,۸۴	۰,۶۹

جدول ۴: بررسی تأثیر شستشو بر رسانایی طرح‌ها.

شماره نمونه	عرض نمونه (mm)	طول نمونه (mm)	قبل از شستشو						بعد از شستشو					
			۵ ثانیه سوم رسانایی ($\times 10^5$ s/m)	ضخامت (μm)	مقادیت (Ω)	۵ ثانیه سوم رسانایی ($\times 10^5$ s/m)	ضخامت (μm)	مقادیت (Ω)	۵ ثانیه سوم رسانایی ($\times 10^5$ s/m)	ضخامت (μm)	مقادیت (Ω)	۵ ثانیه سوم رسانایی ($\times 10^5$ s/m)	ضخامت (μm)	مقادیت (Ω)
۱	۸	۱۱	۱,۰۱	۷	۱	۱,۹۶	۷	۰	۲,۲۸	۶	۱	۲,۶۲	۶	۰,۸۸
۲	۸	۱۱	۰,۹	۷	۰,۸	۲,۱۸	۷	۰,۸	۲,۶۲	۶	۰,۶۱	۲,۶	۶	۰,۶۱
۳	۸	۱۱	۰,۶۵	۷	۰,۶۱	۲,۰۲	۷	۰,۶۱	۲,۵	۶	۰,۹۲	۱,۴۴	۶	۰,۹۲
۴	۸	۱۱	۱,۳۶	۷	۰,۹۲	۱,۴۴	۷	۰,۹۲	۲,۶	۶	۰,۸۶	۱,۲۴	۶	۰,۸۶
۵	۸	۱۱	۱,۴۴	۷	۰,۸۶	۱,۲۴	۷	۰,۸۶	۲,۶۶	۶	۰,۸۶	۲,۶۲	۶	۰,۸۶

نمی‌توان از پروب چهار الکترودی استفاده نمود. لذا مستقیماً از اهم‌تر به تنها یابی استفاده شده به طوری که پروب اهم‌تر به دو انتهای طرح متصل شده و سپس آرام آرام شروع به خم کردن الکترودها نموده و مقدار مقاومت نشان داده شده توسط اهم‌تر قرائت می‌شود. یادآوری می‌نماید استفاده از پروب معمولی اهم‌تر به جای پروب چهار الکترودی به دلیل مقاومت بیشتر نقطه اتصال، مقاومت طرح را بیشتر نشان می‌دهد. اما این موضوع در اینجا مشکلی ایجاد نمی‌نماید زیرا هدف قرائت دقیق مقاومت نیست بلکه هدف مشاهده تغییر مقاومت با خم می‌باشد. مشاهدات نشان می‌دهند تمامی الکترودهای چاپ شده بر روی زیرلایه‌های مختلف، تا زاویه ۹۰ درجه خم شون (با شعاع خمش حدود ۲ cm) همچنان خاصیت رسانایی اولیه خود (یعنی رسانایی قبل از خم) را حفظ می‌کنند. الکترودهای چاپ شده بر روی زیرلایه‌هایی از جنس کاغذ و فیلم PET تا زاویه ۱۳۵ درجه نیز همچنان رسانایی اولیه خود را حفظ نموده اما الکترودهای چاپ شده بر روی پارچه تنها تا زاویه ۱۰۰ درجه می‌توانند رسانایی قبل از خم شود را حفظ کنند و بعد از این زاویه، هدایت الکتریکی آنها نسبت به حالت اولیه کاهش می‌یابد. آزمایش فوق نشان می‌دهد طرح‌های ایجاد شده با استفاده از روش چاپ جوهرافشانی از قابلیت انعطاف‌پذیری خوبی برخوردار هستند. این موضوع یکی از ویژگی‌های مناسب روش چاپ در مقایسه با روش سنتی که مدار بر روی بسترها سخت تهیه می‌شوند، است.

۴- بررسی رسانایی طرح‌های چاپ شده روی زیرلایه PET فیلم

در این قسمت سعی می‌شود تا روش چاپ جوهرافشانی برای ایجاد خطوط هادی، بر روی زیرلایه‌هایی از جنس فیلم PET نیز بررسی شود. برای چاپ طرح‌ها بر روی فیلم PET، در مرحله اول از یافته‌های قبلی در مورد چاپ بر روی کاغذ استفاده می‌نماییم. بنابراین محلول‌های آسکوربیک اسید با درصد وزنی ۳٪ (pH = ۵,۵) و نیترات نقره با درصد وزنی ۰,۲۵٪ (pH = ۳,۵) تهیه شده و پس از چاپ طرح‌ها با مراحل AAAAGG و حرارت‌دهی همانند قبل، رسانایی طرح‌ها

آسکوربیک اسید و نیترات نقره‌ای که قبلاً واکنش نداده‌اند می‌شود و از طرف دیگر باعث از بین بردن فضای خالی بین نانوذرات می‌شود. لذا همان‌گونه که در جدول ۳ مشاهده می‌شود، حرارت‌دهی تأثیر مثبتی بر افزایش هدایت الکتریکی طرح‌های چاپ شده دارد. آزمایش‌ها نشان دادند حرارت‌دهی بیش از ۱۵ ثانیه، تأثیر چندانی در افزایش رسانایی ندارد. بنابراین فاصله زمانی ۱۵ ثانیه را به عنوان زمان مناسب جهت حرارت‌دهی طرح‌ها در نظر می‌گیریم.

۴-۳ بررسی تأثیر شستشو بر رسانایی طرح‌ها

در این آزمایش تأثیر شستشو بر رسانایی طرح‌های چاپ شده مورد بررسی قرار می‌گیرد. برای این منظور تعداد ۵ نمونه از طرح‌هایی که قبلاً رسانایی اولیه خود (یعنی رسانایی قبل از خم) را حفظ می‌کنند. مورد شستشو قرار می‌گیرند. برای جلوگیری از چین و چروک برداشتن طرح‌ها در حین فرآیند شستشو و خشک شدن، طرح‌ها بر روی تلق‌های معمولی چسبانده شده‌اند. در هنگام شستشوی طرح‌های چاپ شده مشاهده می‌گردد که محلولی به رنگ زرد از روی طرح‌ها خارج می‌شود و طرح‌ها به رنگ روش‌تری نسبت به حالت اولیه خود در می‌آیند. بعد از خشک شدن طرح‌ها در دمای معمولی، رسانایی اولیه خود شده می‌شود. نتایج مربوطه در جدول ۴ نشان داده است. مقایسه نتایج حاصل از اندازه‌گیری رسانایی قبل و بعد از فرآیند شستشو نشان دهنده این مطلب است که انجام فرآیند شستشو به دلیل حذف درصد زیادی از ناخالصی‌های موجود در طرح چاپ شده و همچنین اتصال بهتر بین الکترودهای اندازه‌گیری، تأثیر مثبتی بر روی رسانایی طرح‌های چاپ شده به روش جوهرافشان داشته و سبب افزایش رسانایی آنها می‌شود.

۵- بررسی قابلیت انعطاف‌پذیری طرح‌های چاپ شده به روش جوهرافشان

برای بررسی تأثیر خم شون بر رسانایی طرح‌های چاپ شده با استفاده از روش چاپ جوهرافشانی، الکترودهایی انتخاب و مقاومت آنها اندازه‌گیری شد. چون مقاومت طرح‌ها باید در حالت خم شده اندازه‌گیری شود بنابراین

جدول ۵: بررسی رسانایی طرح‌های چاپ شده بر فیلم PET.

تعداد دفعات چاپ AAAAGGAAAGG			تعداد دفعات چاپ AAAAGG			طول نمونه (mm)	عرض نمونه (mm)	شماره نمونه
رسانایی ($\times 10^{-5}$ s/m)	ضخامت (μm)	مقاومت (Ω)	رسانایی ($\times 10^{-5}$ s/m)	ضخامت (μm)	مقاومت (Ω)			
۲/۳۲	۷/۵	۰/۷۹	۰/۱۵۰	۶/۵	۱۴	۱۱	۸	۱
۲/۵۲	۷/۵	۰/۷۳	۰/۱۵۲	۶/۵	۱۳/۸	۱۱	۸	۲
۱/۷۶	۷/۵	۱/۰۴	۰/۱۵۲	۶/۵	۱۳/۸	۱۱	۸	۳
۲/۶۲	۷/۵	۰/۷۰	۰/۱۵۴	۶/۵	۱۳/۶	۱۱	۸	۴
۲/۹۴	۷/۵	۰/۶۳	۰/۱۵۶	۶/۵	۱۳/۵	۱۱	۸	۵

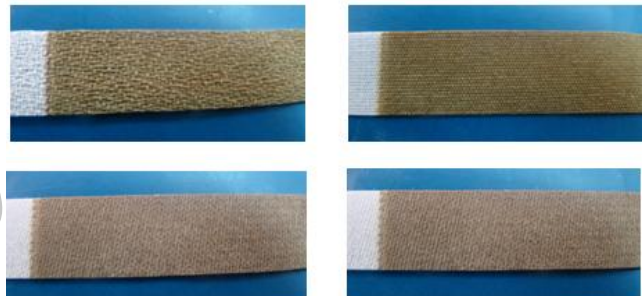
جدول ۶: بررسی رسانایی طرح‌های چاپ شده بر روی پارچه با جنس‌های مختلف.

جنس پارچه	عرض نمونه (mm)	طول نمونه (mm)	ضخامت (μm)	مقاومت (Ω)	رسانایی ($\times 10^{-5}$ s/m)
پنبه	۸	۱۱	۹/۵	۱۳/۵۹	۰/۱۰۶
	۸	۱۱	۹/۵	۱۲/۴۰	۰/۱۱۶
ویسکوز	۸	۱۱	۸/۵	۱۷	۰/۰۹۴
	۸	۱۱	۸/۵	۱۵/۸۴	۰/۱۰۲
پلی‌استر	۸	۱۱	۹	۹	۰/۱۶۸
	۸	۱۱	۹	۸/۵	۰/۱۷۸
پنبه پلی‌استر	۸	۱۱	۹	۹/۸۲	۰/۱۵۴
	۸	۱۱	۹	۹	۰/۱۶۸

شد طرح‌های چاپ شده بر روی پارچه‌ها با تعداد دفعات چاپ A4G2 از رسانایی بسیار کمی برخوردار می‌باشند. لذا طرح‌ها با تعداد دفعات چاپ A4G2A4G2 چاپ شد و نهایتاً تعداد دفعات چاپ به سه برابر حالت اولیه یعنی A4G2A4G2A4G2 افزایش داده شد تا رسانایی به مقدار قابل توجهی افزایش یابد. نتایج حاصل از اندازه‌گیری رسانایی طرح‌های چاپ شده روی پارچه در جدول ۶ مشاهده می‌شود. در شکل ۴ تصویری از چاپ جوهرافشان روی انواع پارچه مشاهده می‌شود.

بایستی توجه داشت که در این آزمایش از چهار نمونه پارچه ظرفی با جنس‌های مختلف پنبه، پلی‌استر، پنبه-پلی‌استر و ویسکوز استفاده شده تا تأثیر جنس پارچه بر رسانایی طرح‌های ایجاد شده بررسی شود و بهترین پارچه با توجه به میزان رسانایی حاصل چهت چاپ جوهرافشانی انتخاب شود. همچنین باید توجه داشت که تمامی این پارچه‌ها خام بوده و هیچ‌گونه عملیات تكمیلی بر روی آنها صورت نگرفته است. مشاهده جدول ۶ نشان می‌دهد که با تعداد دفعات چاپ ذکر شده، رسانایی طرح‌های استحصال یافته هنوز پایین است. از میان پارچه‌های مورد استفاده در این آزمایش پارچه‌هایی از جنس پلی‌استر و پنبه-پلی‌استر از رسانایی بیشتری نسبت به دو پارچه دیگر برخوردار می‌باشند. از این رو سعی شده تا در آزمایشات بعدی از این پارچه‌ها به عنوان بستر پارچه‌ای برای انجام عملیات چاپ استفاده شود.

در ادامه تلاش می‌شود تا با انجام فرآیند پوشش دهی پارچه‌ها، رسانایی طرح‌های چاپ شده روی آنها افزایش داده شود. از این رو از دو نمونه پارچه انتخاب شده در مرحله قبل (پارچه پلی‌استر و پنبه-پلی‌استر) استفاده شده و قبل از انجام عملیات چاپ روی آنها، عملیات پوشش دهی^۱ صورت گرفت. برای انجام عملیات پوشش دهی بر روی پارچه‌ها از محلول پلی‌ونیل الکل (PVA) با سه درصد وزنی متفاوت ۴٪، ۸٪ و ۱۲٪ استفاده شده تا علاوه بر بررسی تأثیر پوشش دهی، تأثیر درصد وزنی پوشش دهی



شکل ۴: تصویری از چاپ جوهرافشان بر روی پارچه.

اندازه‌گیری می‌شوند. مشاهده نتایج حاصل از تست رسانایی صورت گرفته بر روی نمونه‌های چاپ شده بر روی فیلم PET نشان می‌دهد که تعداد دفعات چاپ AAAAGG، تعداد دفعات چاپ بهینه‌ای برای چاپ طرح‌ها بر روی فیلم PET نبوده که این نکته را می‌توان از رسانایی پایین طرح‌ها و رنگ طرح‌ها (عدم نقره‌ای بودن رنگ طرح‌ها) دریافت. از این رو این تعداد دفعات چاپ را دو برابر کرده یعنی با همان شرایط قبلی، این بار چاپ با تعداد دفعات چاپ AAAAGGAAAAGG انجام شده و رسانایی طرح‌ها اندازه‌گیری می‌شود. این تعداد دفعات چاپ را بهطور مختصر با A4G2A4G2 نشان می‌دهیم.

مشاهده جدول ۵ نشان می‌دهد که تعداد دفعات چاپ A4G2A4G2 تعداد دفعات چاپ مناسبی برای چاپ جوهرافشانی بر روی زیرلایه فیلم PET می‌باشد.

۵- بررسی رسانایی طرح‌های چاپ شده بر روی پارچه

در این سری از آزمایشات، انواع مختلفی از پارچه خام با جنس‌های مختلف تهیه شده و با استفاده از شرایط قبلی یعنی محلول آسکوربیک اسید با درصد وزنی ۳۰٪ و محلول نیترات نقره با درصد وزنی ۵٪ و تعداد دفعات چاپ AAAAGG(A4G2) تأثیر درصد وزنی پوشش دهی پس از حرارت دهی همانند قبل، رسانایی طرح‌ها اندازه‌گیری شد. مشاهده

جدول ۷: بررسی تأثیر پوشش دهی پارچه بر روی رسانایی طرح‌های ایجاد شده.

درصد coating	جنس پارچه	عرض نمونه (mm)	طول نمونه (mm)	ضخامت (μm)	مقاومت (Ω)	رسانایی ($\times 10^5$ s/m)
۴ درصد	پلی استر	۸	۱۱	۹	۴/۱۸	۰/۳۶
	پلی استر	۸	۱۱	۹	۴/۰۲	۰/۳۸
	پنبه - پلی استر	۸	۱۱	۹	۵۰/۲	۰/۳۰
	پنبه - پلی استر	۸	۱۱	۹	۴/۸۹	۰/۳۲
۸ درصد	پلی استر	۸	۱۱	۹	۲/۷۸	۰/۵۴
	پنبه - پلی استر	۸	۱۱	۹	۲/۶۰	۰/۵۸
	پنبه - پلی استر	۸	۱۱	۹	۳	۰/۵۰
	پنبه - پلی استر	۸	۱۱	۹	۲/۷۸	۰/۵۴
۱۲ درصد	پلی استر	۸	۱۱	۹	۱/۱۲	۱/۳۶
	پنبه - پلی استر	۸	۱۱	۹	۱	۱/۵۲
	پنبه - پلی استر	۸	۱۱	۹	۱/۵	۱/۳۲
	پنبه - پلی استر	۸	۱۱	۹	۱/۰۹	۱/۴۰

مراجع

- [1] S. M. Bidoki, Using Nanotechnology in the Chemical Deposition of Conductive Patterns on Textiles and Flexible Substrates, Ph.D. Thesis, University of Leeds, Oct. 2006.
- [2] S. M. Bidoki, D. M. Megorman, D. M. Lewis, M. Clark, G. Horler, and R. E. Miles, "Ink-jet printing of conductive patterns on textiles fabrics," *University of Leeds, AATCC Review*, vol. 5, no. 6, pp. 11-13, Jun. 2005.
- [3] *Ink-Jet and Bubble-Jet Printers Technology*, Printers technology guide from Micromechanic. Available at <http://mimech.com/printers/inkjet-printer-technology.asp>
- [4] S. M. Bidoki, D. M. Lewis, M. Clark, A. Vakorov, P. A. Millner, and D. Megorman, "Ink-jet fabrication of electronic components," *J. of Micromechanics and Microengineering, (IOP)*, vol. 17, no. 5, pp. 967-974, May 2007.
- [5] L. Smith, *Development of Direct Write Ink-Jet for Deposition of Silver Contacts*, Department of Energy; Energy Research Undergraduate Laboratory Fellowship Program, University of California Santa Cruz National Renewable Energy Laboratory, Golden, Colorado, Jul. 2001.
- [6] G. Hideyuki, U. Masayuki, M. Yorishige, and H. Noriaki, *Method for Forming Circuit Pattern Utilizing Ink-Jet Printing Method*, Japanese Patent JP 20010125967, 2002.
- [7] L. Leenders and L. Oelbrandt, *Process for the Production of Printing Plate by Ink-Jet*, European Patent EP 0697282 B1, 1998.
- [8] R. D. Johnson and W. N. Damarel, *Deposition Solid Materials*, World Patent WO03049515, 2003.
- [9] J. S. Miller, *Ink-Jet Printing of Printed Circuit Boards*, United States Patent US4668533, May 2007.
- [10] V. D. B. Jan Guido, D. Leo, and L. O. Luc, *Process for the Production of a Printing Plate by Ink-Jet*, European Patent EP0697282, 1996.
- [11] K. Paulose, N. A. Lawrence, G. M. Stevens, and R. Driver, *Electroless Deposition of Metallic Coatings on Non-Conducting Substances*, Word Patent WO9721849, Jun. 1997.
- [12] M. Huske and J. Kikelhain, Miniaturization of Electronic Components: a New Manufacturing Process for 3D-MIDS, <http://www.ptbmagazine.com>, Oct. 2002.
- [13] B. Thomas, E. Lars, and M. Per, A Method and a Device for Deposition of a Metal Layer on a Non-Conducting Surface of a Substrate, World Patent WO2005087979, Sep. 2005.
- [14] E. Kunnari, J. Valkama, M. Keskinen, and P. Mansikkamaki, "Environmental evaluation of new technology: printed electronics case study," *J. of Cleaner Production*, vol. 17, no. 9, pp. 791-799, Jun. 2009.

جواد نوری تحصیلات خود را در رشته مهندسی نساجی در مقطع کارشناسی در سال ۱۳۸۸ از دانشگاه آزاد اسلامی واحد قائم شهر و در مقطع کارشناسی ارشد در سال ۱۳۸۸ از دانشگاه یزد به پایان رسانده است. زمینه‌های تحقیقاتی مورد علاقه نامبرده عبارتند از: کاربرد هوش مصنوعی در مهندسی نساجی و چاپ جوهر افشار.

نیز بر روی رسانایی طرح‌ها مورد ارزیابی قرار گیرد. عملیات پوشش دهی پارچه‌ها بدین صورت انجام می‌شود که ابتدا پارچه‌ها را روی میز چاپ پنهان نموده و سطح آن را به محلول پلی ونیل الکل آغشته نموده و به کمک یک تیغه، محلول را به طور یکنواخت بر روی سطح پارچه پخش نموده و محلول اضافی را از سطح آن برداشت می‌نماییم. بعد از انجام عملیات پوشش دهی و خشک شدن پارچه‌ها، می‌توان عملیات چاپ را با تعداد دفعات افزایش داد. پس از چاپ و عملیات حرارت دهی، رسانایی طرح‌ها اندازه‌گیری شده و نتایج در جدول ۷ نشان داده شده است. این نتایج نشان می‌دهد که عملیات پوشش دهی تأثیر مثبتی بر رسانایی طرح‌ها داشته و همچنین مشاهده می‌شود که درصد وزنی محلول پلی ونیل الکل نیز از پارامترهای تأثیرگذار بر رسانایی طرح‌ها بوده به طوری که پارچه‌هایی که با محلول پلی ونیل الکل با درصد وزنی ۱۲ درصد پوشش داده شده‌اند، بیشترین رسانایی را در مقایسه با درصد وزنی دیگر داشته‌اند.

۶- نتیجه‌گیری

در این مقاله استحصال شیمیایی نانوذرات فلزی بر سطح بسترهای مختلف با استفاده از چاپگر جوهرافشان به عنوان روشی نوین و کارآمد برای ایجاد المان‌های الکتریکی معرفی شد. همچنین نشان داده شد که کارگیری محلول‌های مناسب و کنترل پارامترهای دخیل در چاپ نظیر تعداد دفعات چاپ، غلظت محلول‌های چاپ شده، شستشوی طرح‌ها و اعمال حرارت می‌توان تا حدود زیادی هدایت الکتریکی طرح‌های استحصال یافته را افزایش داد و به خط و یا صفحه هادی انعطاف‌پذیر دست یافت. نتایج به دست آمده نشان می‌دهد که تکنیک چاپ جوهرافشان از قابلیت خوبی برای چاپ و استحصال شیمیایی فلز بر روی زیرلایه‌های مختلف نظیر کاغذ، فیلم و پارچه برخوردار است.

۷- سپاس‌گزاری

از کارشناسان آزمایشگاه‌های دانشکده‌های مهندسی نساجی و مهندسی برق و کامپیوتر دانشگاه یزد به خاطر همکاری صمیمانه در انجام این پژوهش تشکر و قدردانی می‌شود.

عباسعلی حیدری تحصیلات خود را در مقطع کارشناسی برق- الکترونیک در سال ۱۳۷۲ در دانشگاه شهید باهنر کرمان و در مقاطعه کارشناسی ارشد و دکتری به ترتیب در سال های ۱۳۷۵ و ۱۳۸۱ در دانشگاه تربیت مدرس به پایان رسانده است. از سال ۱۳۸۱ همکاری خود را با دانشگاه یزد شروع نموده و هم‌اکنون دانشکده مهندسی برق و کامپیوتر این دانشگاه می‌باشد. نامبرده از سال ۱۳۸۳ تا ۱۳۸۵ سرپرست دانشکده مهندسی برق دانشگاه یزد بوده و از سال ۱۳۸۶ تا ۱۳۸۹ نیز مسئولیت گروه آموزش‌های عالی آزاد و مجازی این دانشگاه را به عهده داشته است. زمینه‌های تحقیقاتی مورد علاقه ایشان عبارتند از تحلیل و طراحی آتنن‌ها و بویژه آتنن‌های ریزنواری و شکافی موجبری، روش‌های عددی در الکترومغناطیس، مدارها و ادوات مایکروویوی.

سید منصور بیدکی متولد سال ۱۳۴۹ در شهرستان مهریز استان یزد می‌باشد. وی در سال ۱۳۷۱ مدرک کارشناسی خود را در رشته مهندسی شیمی نساجی از دانشگاه صنعتی اصفهان و در سال ۱۳۷۵ مدرک کارشناسی ارشد خود را نیز در همان رشته از دانشگاه صنعتی امیرکبیر دریافت نمود. از سال ۱۳۷۵ تا سال ۱۳۸۱ به عنوان عضو هیئت علمی در دانشکده مهندسی نساجی دانشگاه یزد مشغول به خدمت گردید. در سال ۱۳۸۱ برای ادامه تحصیل به دانشکده شیمی رنگ و پلیمر دانشگاه لیدز انگلستان وارد شده و در سال ۱۳۸۵ پایان نامه دکتری خود را با عنوان "به کارگیری روشهای نوین نانوتکنولوژی در ایجاد طرحهای دارای هدایت الکتریکی بر برسترهای انعطاف پذیر و منسوجات" به پایان رسانید. او هم‌اکنون دانشیار دانشکده مهندسی نساجی دانشگاه یزد بوده و در زمینه‌های مختلفی از جمله منسوجات الکترونیکی و هوشمند دارای انتشارات و تحقیقات مختلف است.

Archive of SID